LXIII

1976

УДК 539.3

ТЕОРИЯ УПРУГОСТИ

В. С. Никишин, Г. С. Шапиро

Контактные задачи теории упругости с односторонними связями

(Представлено академиком АН Армянской ССР II. X. Арутюняном 21/VIII 1976)

Традиционная постановка контактной задачи предполагает наличне полного контакта плоского или выпуклого кругового или кольцевого в плане штампа с упругой средой. Обнаружено (1,2), что в случае слоистой среды при определенных характеристиках, например, когда первый (верхний) слой достаточно тонкий, но более жесткий, чем второй, условие полного контакта без сцепления приводит к появлению на площадке контакта растягивающих напряжений в некоторой круговой или кольцевой области. Это явление объясняется заметным изгибом первого слоя, в результате чего, при отсутствии связей, слой отстанет от основания штампа в некоторой внутренней области. В таком случае, если допустить полный контакт, то естественно также ожидать появления растягивающих контактных напряжений и при изгибе однородного слоя под действием кругового или кольцевого штампа. Вместе с тем ясно, что в случае несцепленного штампа растягивающие контактные напряжения педопустимы, и их появление свидетельствует о необходимости иной постановки задачи, предусматривающей возможность отставания упругой среды от основания штампа в некоторой круговой или кольцевой области, размеры которой подлежат определению. Причем. если выяснено, что упругая среда отстает от основания штампа в круговой области, то задаче о круговом штампе соответствует задача о кольцевом в плане штампе с неизвестным внутренним раднусом, подле жащим определению из условия равенства нулю контактного давления на внутреннем контуре площадки контакта.

В статье показана возможность появления растягивающих контактных напряжений на конкретных примерах слоистых сред при наличий полного контакта с ними кругового или кольцевого штампа и даны новые решения контактных задач о сжатии слоистых сред и об изгибе однородного слоя под действием кругового и кольцевого штампов с учетом отставания упругой среды от их оснований.

1. Сжатие слоистых сред под действием кругового или кольцевого итампов. В качестве слоистой среды для простоты возьмем пакет вз двух скрепленных между собой слоев, лежащий без грения на недеформируемом основании. Пакет характеризуется параметрами $t_1 = -1/E_1$, $\chi_1 = \delta_1(1+\tau_2)/(1+\tau_1)$, $t_1 = H_1/H$, где E_i , $\tau_i(i=1,2)$ — молули упругости и коэффициенты Пуассона первого и второго слоев, H — общая толщина пакета, H_1 — толщина первого слоя. Примем начало отсчета цилипдрической системы координат r, z на нижней граничной плоскости пакета и направим ось Oz вверх. Пусть на верхней граничной плоскости z = H действует кольцевой штамп a = r < b с плоским основанием. Введем безразмерные переменные $\phi = r/b$, t = z/H и запинем краевые условия задачи

$$\frac{E_1 w_1(\rho, t)}{(1 + v_1)b} \Big|_{t=1} = -h \quad (\rho_0 \le \rho \le 1)$$

$$\sigma_{z_1}(\rho, t)|_{t=1} = 0 \quad (0 \le \rho < \rho_0, \quad 1 < \rho < \infty),$$
(1.1)

где $h = \delta E_1/b(1+v_1)$, $\delta = \Gamma$ лубина погружения штампа. Характерными параметрами задачи являются $\lambda = \Delta H_1/b$ ($\Delta H_1 = H - H_1 = \Gamma$ олщина первого слоя) и $\rho_0 = a/b < 1$. В случае кругового штампа условия (1.1) берутся при $\rho_0 = 0$.

Решение контактной задачи (1.1) для кругового штампа получено в (1,2). На рис. 1 изображены графики интенсивности давления штампа $\sigma^* = \sigma_{z_1}$ (ρ , 1)/h для двухслойного пакета с параметрами $\sigma_z = 100$, $t_1 = 0.95$, $\sigma_z = \sigma_z = 0.3$ и цикла значений $\sigma_z = 0.05$; 0,1; 0,2; 0.5 (0,25)2. На этих графиках видно, что при $\sigma_z = 0.75$ качественно имеет такой же вид, как в случае однородного слоя, а при $\sigma_z = 0.5$ возникают круговые области растягивающих (положительного знака) напряжений, которые при убывании и начиная с некоторого момента, концентрируются вблизи контура площадки контакта.

Решение задачи (1.1) для кольцевого штампа дается в двух разных формах, совпадающих в численном виде. В первом случае задача (1.1) сводится к интегральному уравнению для $\varphi_1(x)$ (*)

$$\pi(1-\nu_1)\sqrt{x-\rho_0}\,\varphi_1(x) + \int_{\rho_0}^1 \frac{K_1(x,t)}{\sqrt{t-\rho_0}}\,\varphi_1(t)dt = -\frac{hx}{\sqrt{x+\rho_0}},\qquad (1.2)$$

где

$$K_{1}(x,t) = xt \left[\frac{2(1-v_{1})M_{1}(x,t)}{-\sqrt{(x+\rho_{0})(t+\rho_{0})}} + \int \Delta(\beta)l_{1}(x,\beta)l_{1}(t,\beta)d\beta \right]$$
(1.3)

$$M_1(x,t) = \frac{1}{x^2 - t^2} \left[\frac{x^2 - \rho_0^2}{x} \ln \frac{x + \rho_0}{x - \rho_0} - \frac{t^2 - \rho_0^2}{t} \ln \frac{t + \rho_0}{t - \rho_0} \right], \tag{1.4}$$

$$l_1(x,\beta) = \frac{J_0(\rho_0\beta)}{\sqrt{x+\rho_0}} - \beta \sqrt{x-\rho_0} \int_{\rho_0}^{x} \frac{J_1(\rho\beta)}{\sqrt{x^2-\rho^2}} d\rho, \tag{1.5}$$

а $\Delta(3)$ — известная функция, убывающая на бесконечности по экспоненциальному закону. Во втором случае задача (1.1) сводится к интегральному уравнению для $\varphi_2(x)$ (2).

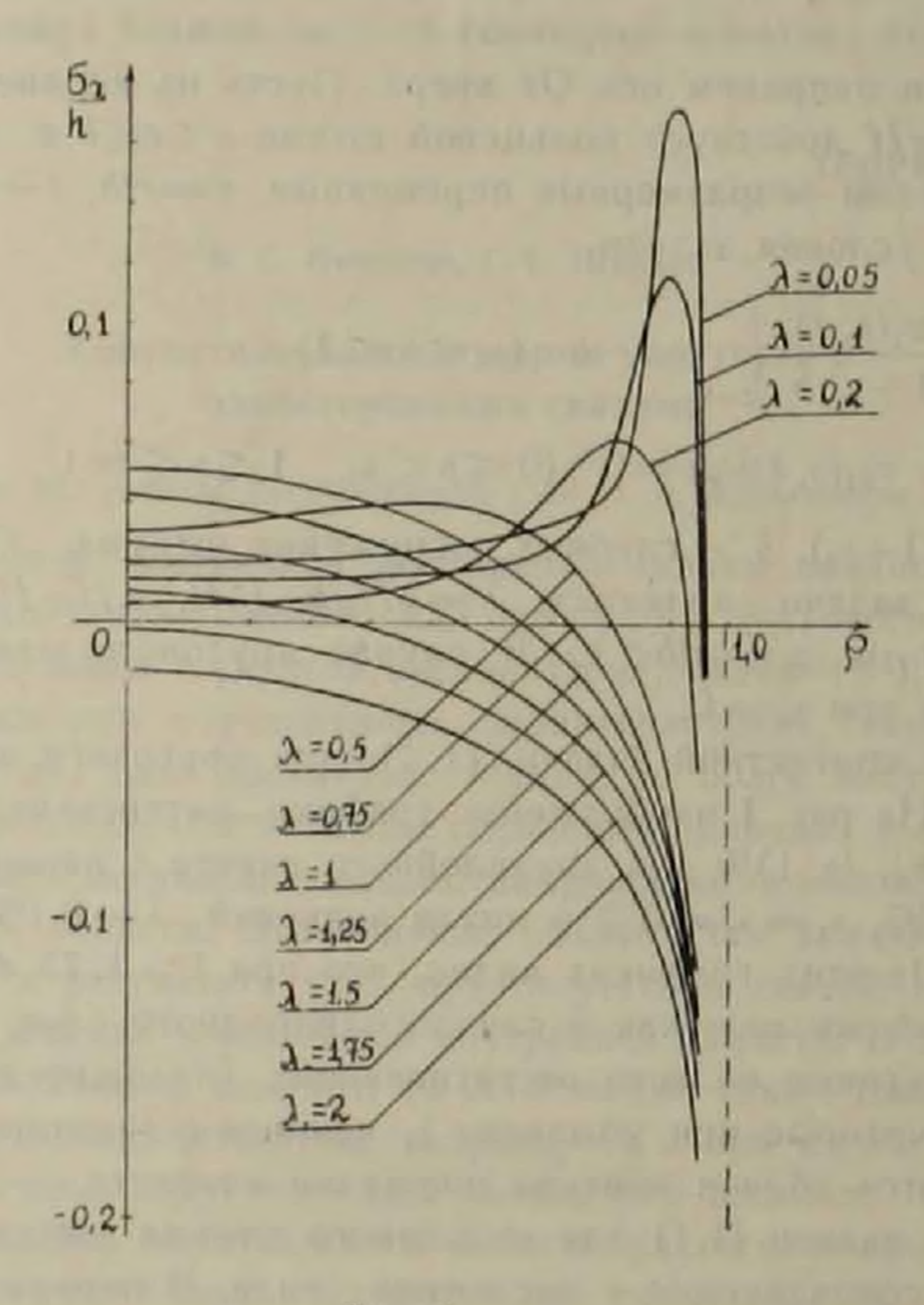


Рис. 1

$$\pi(1-v_1)\sqrt{1-x}\,\varphi_2(x) + \int_0^1 \frac{K_2(x,t)}{\sqrt{1-t}}\,\varphi_2(t)dt = -\frac{hx}{\sqrt{1+x}}\,, \quad (1.6)$$

где

$$K_2(x,t) = xt \left[\frac{2(1-v_1)M_2(x,t)}{\pi \sqrt{(1+x)(1+t)}} + \int_0^{\infty} \Delta(\beta)t_2(x,\beta)t_2(t,\beta)d\beta \right], \quad (1.7)$$

$$M_2(x,t) = \frac{1}{x^2 - t^2} \left[\frac{1 - x^2}{x} \ln \frac{1 - x}{1 + x} - \frac{1 - t^2}{t} \ln \frac{1 - t}{1 + t} \right], \tag{1.8}$$

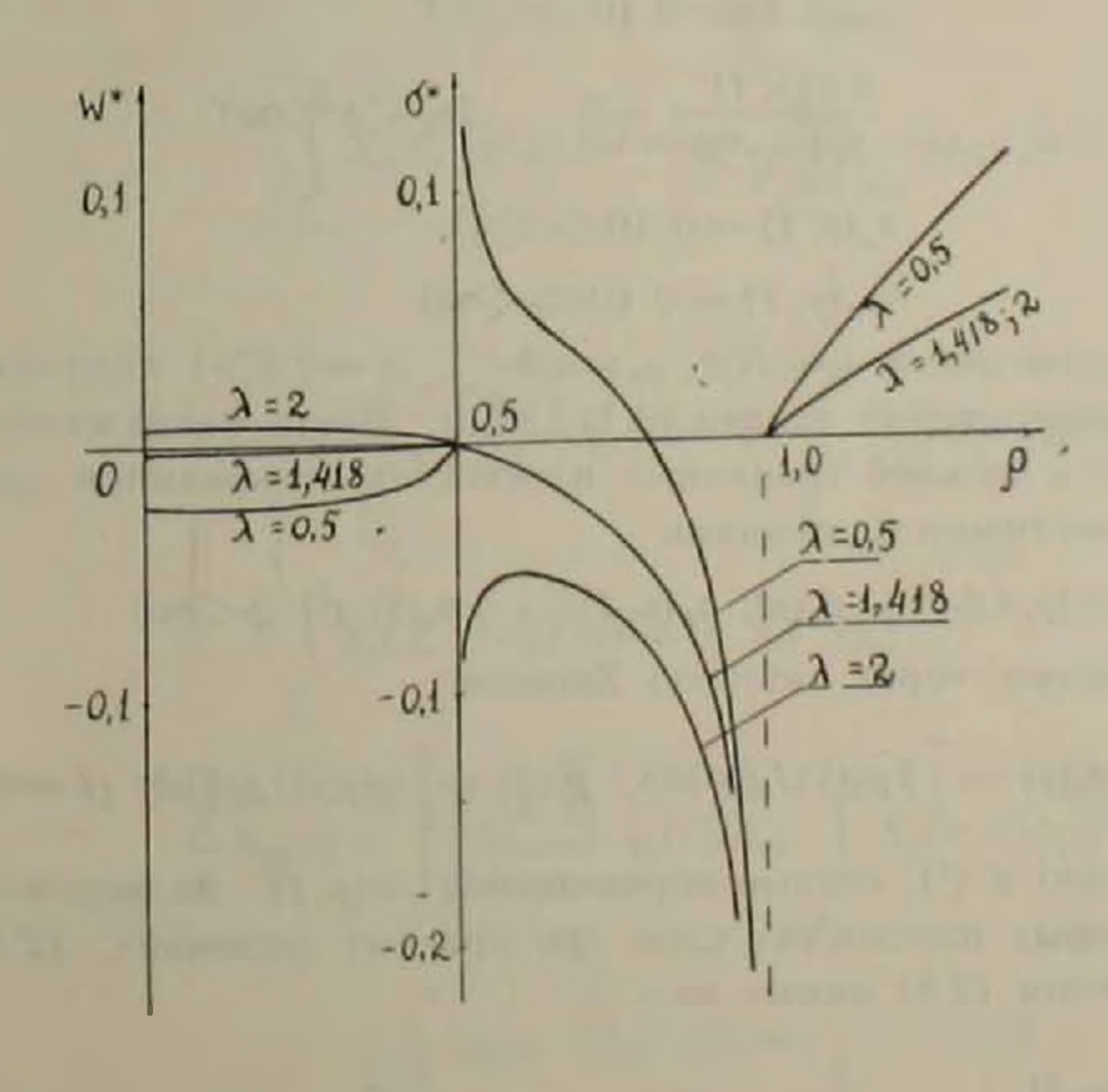
$$l_{2}(x,\beta) = \frac{J_{0}(\beta)}{\sqrt{1+x}} + \beta \sqrt{1-x} \int \frac{J_{1}(\rho\beta)}{\sqrt{\rho^{2}-x^{2}}} d\rho, \qquad (1.9)$$

Интенсивность давления штампа $p(s) = s_{z_1}(s,1)$ выражается через функции $\varphi_1(x)$ и $\varphi_2(x)$ по формулям:

$$p(p) = \frac{\varphi_1(t, 1)}{\sqrt{1 - p^2}} - \int_0^1 \frac{\varphi_1(t, y)}{\sqrt{y^2 - p^2}} dy, \qquad (1.10)$$

$$p(\rho) = \frac{\varphi_2(\lambda, \rho_0)}{\sqrt{\rho^2 - \rho_0^2}} + \int_{\rho_0}^{\rho} \frac{\varphi_2(\lambda, y)}{\sqrt{\rho^2 - y^2}} dy, \tag{1.11}$$

в которых в явном виде выделены особенности на внешнем $\rho=1$ и внутреннем $\rho=\rho_0$ контурах площадки контакта и подчеркнута очевидная зависимость $\varphi_1(x)$ [и $\varphi_2(x)$ от параметра ℓ , т. е. $\varphi_1(x)=\varphi_1(\ell,x)$, $\varphi_2(x)=\varphi_2(\ell,x)$. Явное выделение особенностей $\rho(\rho)$ на обонх контурах кольцевой площадки контакта и явилось целью дублирования решения задачи (1.1) Используя оба подхода, реализовано численное решение задача (1.1) о давлении кольчевого штампа на двухслойный пакет. Расчеты проводились при параметрах $\delta_1=100,\ \ell_1=0,95,\ \ell_1=100,\ \ell_2=0,3,\ \rho_0=0,5.$ На рис. 2 показаны графики осевых перемещений $w^*=1+E_1w_1/(1+\nu_1)bh$ и интенсивности давления штампа $z^*=p(\rho)/h$ на внешней поверхности пакета при $\ell=0,5;\ 1,418;\ 2.$ Слу-



Piic. 2

чай $\lambda = 2$ качественно соответствует однородному слою. В случае $\lambda = 0.5$ вблизи внутреннего контура плошадки контакта возникают растягивающие (положительного знака) напряжения σ^* , обраща-

ющиеся в $+\infty$ на самом контуре $\varrho = \varrho_0 = 0, 5$. Для фиксированиого $\varrho_0 = \varrho_0^*$ величина $\ell = 1,418$ определяется из условия $\varphi_0(\ell,\varrho_0^*) = 0$ и соответствует случаю $p(\varrho_0^*) = 0$, когда реализуются решения задач о давлении на пачет кругового штампа или кольцевых штампов при $\varrho_0 < \varrho_0^*$ с учетом отхода упругой среды от их оснований соответственно в круге $0 < \ell_0$ или кольце $\varrho_0 < \ell_0$ что подтверждается графиком осевых перемещений $\mathfrak{L}^{\mathfrak{p}^*}$ при $\ell = 1,418$.

2. Осесимметричный изгиб слоя под действием кругового или кольцевого штампа. Пусть бесконечный слой произвольной толщины H закрешлен на верхией и нижней граничных плоскостях при r>c и на его верхией граничной плоскости действует кольцевой штамп $a \le r \le b$ с плоским основанием, причем b < c. Примем начало отсчета цилиндрической системы координат r, z на нижней граничной плоскости слоя и пусть ось Oz совпадает c осью штампа и направлена вверх. Введем безразмерные переменные $e^{-c} = r/b$, $e^{-c} = r/b$,

$$\lim_{t \to 1:} \frac{Ew(\rho, t)}{2(1-v^2)b} = \begin{cases} -h & (\rho_0 < \rho < 1) \\ 0 & (\rho_1 < \rho < \infty) \end{cases}$$
 (2.1)

$$\sigma_z(\rho, t) = 0(0 \le \rho < \rho_0, 1 < \rho < \rho_1); \tag{2.2}$$

$$\tau_{rz}(\rho, t) = 0 \ (0 \le \rho < \infty) \tag{2.3}$$

при
$$t = 0$$
:
$$\frac{Ew(\rho, t)}{2(1-\nu^2)b} = 0 \qquad (\rho_1 < \rho < \infty)$$
 (2.4)

$$\sigma_z(\rho, t) = 0 \quad (0 \leqslant \rho \leqslant \rho_1); \tag{2.5}$$

$$\tau_{rz}(\rho, t) = 0 \ (0 \le \rho < \infty) \tag{2.6}$$

Величины отношений t = H/b, $t_0 = a/b < 1$, $\rho_1 = c/b > 1$ являются характерными параметрами задачи (2.1) - (2.6). Пусть напряжения $\sigma_z(\rho, t)$ на верхней и инжией граничных плоскостях выражаются некоторыми пока неизвестными функциями

$$\sigma_z(\rho, t)|_{t=1} = \rho_1(\rho), \ \sigma_z(\rho, t)|_{t=0} = \rho_0(\rho) \ (0 \le \rho < \infty)$$
 (2.7)

представимыми через интеграл Ханкеля:

$$p_i(\rho) = \int_0^{\beta} \beta \, \overline{p_i(\beta)} J_0(\rho\beta) d\beta, \quad \overline{p_i(\beta)} = \int_0^{\beta} \rho \, p_i(\rho) J_0(\rho\beta) d\rho \quad (i = 0, 1) \quad (2.8)$$

Как показано в (a), осевые перемещения $w(\rho, t)$ на верхней и нижней граничных плоскостях слоя при краевых условиях (2.3), (2.6), (2.7) с учетом (2.8) имеют вид:

$$\frac{Ew(\varrho, t)}{2(1-v^2)b}\bigg|_{t=1} = \int_{0}^{\infty} \Delta_{11}(\beta)\overline{\rho_{1}}(\beta)J_{0}(\varrho\beta)d\beta - \int_{0}^{\infty} \Delta_{10}(\beta)\overline{\rho_{0}}(\beta)J_{0}(\varrho\beta)d\beta, \quad (2.9)$$

$$\frac{Ew(\rho, t)}{2(1-r^2)b}\Big|_{t=0} = \int_{0}^{\infty} \Delta_{01}(\beta)\bar{p}_{1}(\beta)J_{0}(\rho\beta)d\beta - \int_{0}^{\infty} \Delta_{00}(\beta)\bar{p}_{0}(\beta)J_{0}(\rho\beta)d\beta, \quad (2.10)$$

тде $\Delta_{ij}(\beta)$ (i, j=0,1) — известные функции, причем $\Delta_{ii}(\beta)-1$ (i=0,1), $\Delta_{0i}(\beta)$, $\Delta_{10}(\beta)$ убывают на бесконечности по экспоненциальным законам. Заметим, что при получении формул (2.9)—(2.10) в работе (3) был устранен математический дефект, связанный с расходимостью интеграла Ханкеля для осевых перемещений слоя $w(\rho,t)$ даже вслучае статически уравновешенных нагрузок (2.7) на его верхней и нижней поверхностях.

Подставляя (2.7)-(2.10) в краевые условия (2.1)-(2.2), (2.4), (2.5), получаем систему парных интегральных уравнений относительно $\overline{p_0}(\beta)$ и $\overline{p_1}(\beta)$. Затем система парных интегральных уравнений известными методами, изложенными в работах $(^{2.3})$, сводится к системе линейных интегральных уравнений для трех неизвестных функций двух разных видов, позволяющих выделить особенности на обоих контурах площадки контакта кольцевого штампа со слоем, как в 1 в задаче для пакета слоев. В первом случае система линейных интегральных уравнений для новых неизвестных функций $\varphi_1(x)$, $\psi_1(x)$, $\psi_1(x)$, имеет вид:

$$\frac{2}{\pi} \sqrt{x - \rho_0} \, \varphi_1(x) + \int_{\rho_0}^1 \frac{S_1(x, t)}{\sqrt{t - \rho_0}} \, \varphi_1(t) dt + \int_{\rho_1}^{\rho_1} S_2(x, t) \, \varphi_1(t) dt + \\
+ \int_{\rho_1}^{\pi} S_3(x, t) \, \vartheta_1(t) dt = -\frac{hx}{\sqrt{x + \rho_0}} \, (\rho_0 \le x \le 1)$$

$$\frac{2}{\pi} \, \psi_1(x) + \int_{\rho_0}^1 \frac{S_3(x, t)}{\sqrt{t - \rho_0}} \, \varphi_1(t) dt + \int_{\rho_1}^{\pi} S_3(x, t) \, \psi_1(t) dt + \\
+ \int_{\rho_1}^{\pi} S_0(x, t) \, \vartheta_1(t) dt = 0 \quad (x > \rho_1)$$

$$\frac{2}{\pi} \, \vartheta_1(x) + \int_{\rho_1}^1 \frac{S_7(x, t)}{\sqrt{t - \rho_0}} \, \varphi_1(t) t dt + \int_{\rho_1}^{\pi} S_5(x, t) \, \psi_1(t) dt + \\
+ \int_{\rho_1}^{\pi} S_0(x, t) \, \vartheta_1(t) dt = 0 \quad (x > \rho_1)$$

Здесь ядро $S_1(x,t) = K_1(x,t)$ определяется по формуле (1.3) с учетом (1.4), (1.5) и $\Delta(\beta) = \Delta_{11}(\beta) - 1$, $S_2(x,t) = S_4(t,x)$, а ядра $S_l(x,t)$ ($l=3,4,\ldots,9$) выражлются формулами:

$$S_3(x, t) = -x \int_0^{\pi} \Delta_{10}(\beta) \sin(t\beta) l_1(x, \beta) d\beta,$$

$$S_4(x,t) = \frac{t\sqrt{x^2 - \rho_0^2}}{(x^2 - t^2)\sqrt{t + \rho_0}} + t\int_0^\infty |\Delta_{11}(\beta) - 1| \sin(x\beta)l_1(t,\beta)d\beta,$$

$$S_5(x, t) = \left[\left[\Delta_{11}(\beta) - 1 \right] \sin(x\beta) \sin(t\beta) d\beta,$$
 (2.13)

$$S_6(x,t) = -\int_0^\pi \Delta_{10}(\beta) \sin(x\beta) \sin(x\beta) d\beta,$$

$$S_{1}(x,t) = -t \int_{0}^{\infty} \Delta_{01}(\beta) \sin(x\beta) l_{1}(t,\beta) d\beta,$$

$$S_8(x,t) = -\int_0^{\infty} \Delta_{01}(\beta) \sin(x\beta) \sin(t\beta) d\beta,$$

$$S_{\rm p}(x, t) = \int_{0}^{\pi} [\Delta_{00}(\beta) - 1] \sin(x\beta) \sin(t\beta) d\beta,$$

где $l_1(x, \beta)$ определена формулой (1.5) Давление под штампом $p(\rho)$ выражается через $\varphi_1(x)$ по формуле (1.10).

Во втором случае задача (2.1)-(2.6) сводится к системе линейных интегральных уравнений (2.12) для функций $\varphi_2(x)$, $\psi_2(x)$ $\theta_2(x)$, в которой ядро $S_1(x,t)=K_2(x,t)$ определяется по формуле (1.7) с учетом (1.8), (1.9) и $\Delta(\beta)=\Delta_{11}(\beta)-1$, $S_2(x,t)=S_4(t,x)$, а ядра $S_i(x,t)$ ($i=3,4,\ldots,9$) выражаются формулами (2.13) с заменой $l_1(x,\beta)$ на $l_2(x,\beta)$ (1.9), ρ_0 на 1. Давление под щтампом $p(\rho)$ выражаются через $\varphi_2(x)$ по формуле (1.11). Если при изгибе слой отходит от основания кругового или кольцевого штампа, то неизвестный параметр ρ_0 определяется из условия $\varphi_2(\lambda,\rho_0)=0$.

Ниститут проблем механики Академии наук СССР

Վ. Ս. ՆԻԿԻՇԻՆ, Գ. Ս. ՇԱՊԻՐՈ

Առաձգականության տեսության միակողմանի կապե<mark>րով կոնտակտային</mark> խնդի**ւնե**ր

Հոդվածում ցույց է տրվում առաձդական շերտավոր միջավայրի հեր կլոր և օղակաձև կոշտ դրոշմների ներմոման ժամանակ ձգող կոնտակտային լարումների առաջացման հնարավորությունը՝ կոնտակտի մեջ դանվող հար մինների միջև լրիվ կոնտակտի առկայության դեպքում։ նոր լուծումներ են տրվում շերտավոր միջավայրերի սեզմման, կլոր և օղակաձև կոշտ գրոշմներով համասեռ շերտի ծռման խնդիրների համար առաձգական միջավայրի իր հիմբից հետ մնալու հաշվառումով։

ЛИТЕРАТУРА— ЧРИЧИБПЕРВПЕТ

В. С. Никишин, Г. С. Шипиро, Труды симпознума по механике сплошной среды и родственным проблемам анализа, т. 1, Тоилиси, Изд «МЕЦИИЕРЕБА» 1973 В С. Никишин, Осесимметричные контактные задачи теории упругости для неоднородных сред. Издание ВЦ АН СССР, Сообщения по прикладной математике, вып. 3, 1976. В С. Никишин, Г. С. Шипиро, Успехи механики деформируемых сред. Изд. «Наука», 1975.